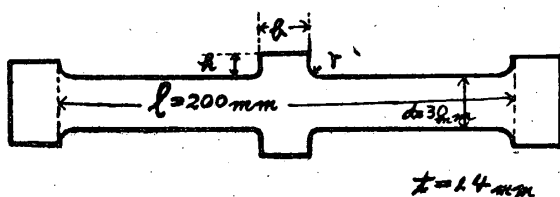


不連續箇所をもつ平板の実験的研究(第1報) 凸張りをもつ試験片の伸率について*

野 村 恭 雄

I 緒 言

本研究は平板試験片に不連続箇所をもつ場合、その不連続部が破断に如何なる影響を及すかを実験的に究明せんとするものである。之に⁽¹⁾関しては丸棒(三次元)の場合には切欠の研究等多々あるが二次元の平板に関しては余り見かけないようである。ここではその本格的研究に入るに先立ち、先づ凸張りをもつ平板試験片(第1図)の凸張りの要素巾b、高さh、丸味rの伸



第 1 図

率に及ぼす影響を考えることにする。即ち一般の試験片を引張り試験機にかけると、ほどその中央部が切断する。そしてその場合の伸率 ϵ はBarbaの法則から

$$\epsilon = a + \beta \frac{\sqrt{A}}{l}$$

ここで A : 断面積 l : 標点距離

a, β : 材料による常数

として与えられる。故に l を一定にしておいて(厚さ t も一定)巾 d を大きくすれば断面積 A が大きくなるから、伸率も大きくなり、又引張り力も大きくなることは云う迄もない。そこで今中央部に凸張りをつけ、その高さ h、巾 b、及び丸味 r をいろいろと変えてみる。ここに r というのは矩形の只の凸張りでは sharp corner となり理論上ではここに応力が集中して、そのためここから切れることになっているから之をさけるために丸味をつけて応力が集中しないようにしたのである。そしてこの b, h, r を三変数として

$$\epsilon = f(b, h, r)$$

なる関係を現象的にみていくとするのであ

る。

II 使用材料及び試験片

1. 材料 東洋鋼鉄株式会社より提供された冷圧高級仕上鋼鉄を使用した。

厚さ=1.4mm, 抗張力=39.4kg/mm², 伸率=24.7%, (標点距離=200mm), 720°C 烧鈍

2. 成分 コイルの圧延方向に中央部及び端を分析した。(於東洋鋼鉄株式会社下松工場、研究所)

成 分 箇 所	C	Si	Mn	P	S	Cu	Ni	Cr
冷 壓 コイル 中 央	0.16	0.018	0.59	0.015	0.037	0.31	0.076	0.042
端	0.16	0.014	0.58	0.014	0.033	0.29	0.082	0.040

3. 試験片 巾 d=30mm, 標点距離 l=200mm

精密手仕上げ(1/20mmノギス使用)

4. b, h, r の寸法

(1) h=5mm, r=2mm を一定にして b を 2, 4, 5, 6, 8, 10, 20, 30, 40mm に変えて b の影響を見る。

(2) b=5mm 及び 10mm, r=2mm を一定にして h をそれぞれ 2, 4, 5, 7, 10, 14, 18, 20mm に変えて h の影響を見る。

(3) h=5mm, b=5mm 及び 10mm を一定にして r をそれぞれ 0, 2, 4, 6, 10mm に変えて r の影響を見る。

III 實 験

各寸法の試験片三枚づゝ行い、そのうち誤差のひどいのは除いてその平均をとつた。

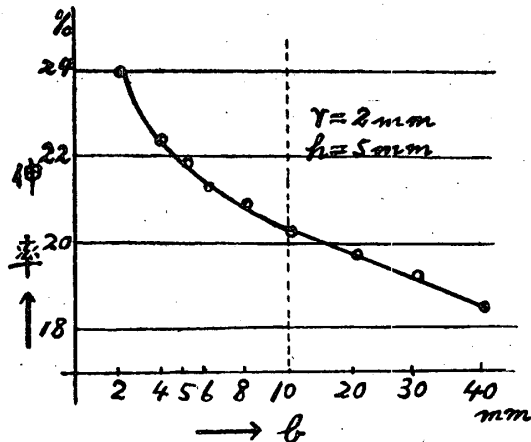
1. b の影響 h=5mm, r=2mm

bの値 mm	2	4	5	6	8	10	20	30	40
伸率 %	23.9	22.3	21.9	21.3	20.9	20.2	19.7	19.3	18.4

これをグラフに示すと第2図のようになる。

この関係は丸棒の場合の矩形切欠の切欠幅の増大に伴つて抗張力が減少するという島田氏の実

験結果に比べて同様な結果を示している。



第2図

2. hの影響

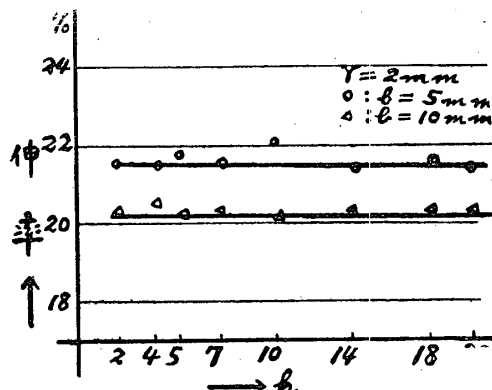
$b = 5 \text{ mm}$, $r = 2 \text{ mm}$

$h \text{ mm}$	2	4	5	7	10	14	18	20
伸率 実験値%	21.5	21.5	21.9	21.7	22.4	21.4	21.7	21.5

$b = 10 \text{ mm}$, $r = 2 \text{ mm}$

$h \text{ mm}$	2	4	5	7	10	14	18	20
伸率 実験値%	20.3	20.6	20.2	20.4	20.1	20.4	20.3	20.3

この表をみると $b = 5 \text{ mm}$ と $b = 20 \text{ mm}$ の場合は明らかに差があるが、 h の変化に対しては実験



第3図

誤差の範囲から考えて $b = 10 \text{ mm}$ ならば大体 h の影響はないと考えられる。従つて之は直線で表わせるから最小二乗法によつて $b = 5 \text{ mm}$ の場合は $\epsilon = 21.7\%$, $b = 10 \text{ mm}$ の場合は $\epsilon = 20.2\%$ となつて一定値をとる。之をグラフに示すと第3図のようになる。このことは前掲島田氏の矩形切欠付丸棒の場合にも切欠きの深さは真破断力には無関係であるという結果に比べて興味深

い。

3. rの影響

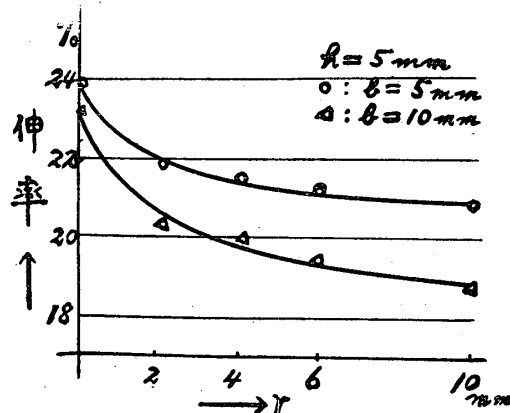
$b = 5 \text{ mm}$, $h = 5 \text{ mm}$

$r \text{ mm}$	0	2	4	6	10
伸率% 実験値	23.9	21.9	21.6	21.3	20.8

$b = 10 \text{ mm}$, $h = 5 \text{ mm}$

$r \text{ mm}$	0	2	4	6	10
伸率% 実験値	23.2	20.2	20.0	19.5	18.8

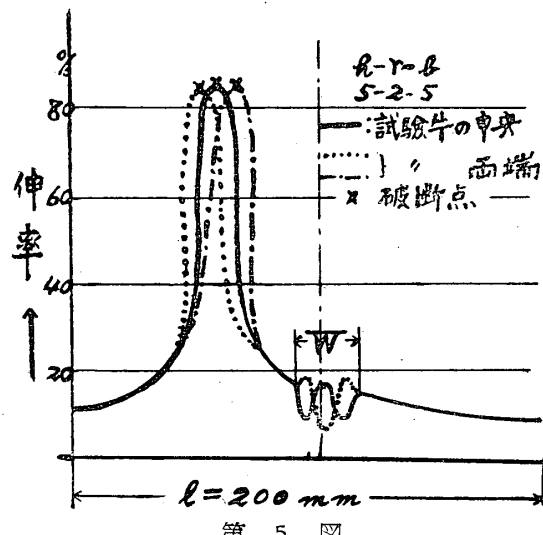
之をグラフに示すと第4図のようになる。



第4図

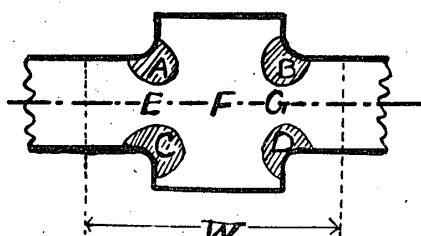
III 歪線圖

試験片を 5 mm 間隔に野書きしておいて、引張り切断後その伸びを標点距離に沿つて試験片の上、下端及び中央部をそれぞれコンパレーターで読み、各寸法毎に歪線図を描いてみた。凸張りのない普通の試験片の歪線図と、凸張りのある場合例えれば $h-r-b$ (5-2-5) の第5図と比べると試験片の中央の凸張り部に図のような左右



第5図

対称のきれいな凸凹がみられる。図中点線と破線は標点距離にそつて試験片の両端の伸びであり、実線は中央である。凸張り部の点線と破線とは実験誤差の範囲で一致している。この凹凸のいみするものは即ち凸張りの基部 A, B, C, D (第6図参照) は試験片の他の平滑な場



第6図

所に比べて切欠部と同様応力集中が表われ、従つてこの部分は他の場所が未だ弾性域にある時既に早く塑性域となり歪は頗る大きくなる。(但し破断点附近は除く) 而して野書きを施したある範囲内の面積は破断前後に於ては不变であると云えるから、一部分が極めて大きく伸びればその前後の歪は非常に小さくなる。換言すれば不均一応力下に於て非常に大きい応力下にある歪は、小さい応力下にある歪に比べて非常に大きくなる。このことは標点距離に沿つた A B (又は C D) 方向のみならず、これと直角方向の A E C (又は B F D) 方向にも云えることであつて A C (又は B D) の中間の E (又は F) 部の歪は小さく、従つて E F の中間の G の歪は大きくなることは明らかである。即ち歪線図はこのことをそのまま表わしており、そうして A B 方向と E F 方向の歪線の一致している所が凸張りの影響の及す限界であり先述の面積不变の限界である。従つてこの幅 W の長さを測ることによつて b, h, r の影響を知ることができる。

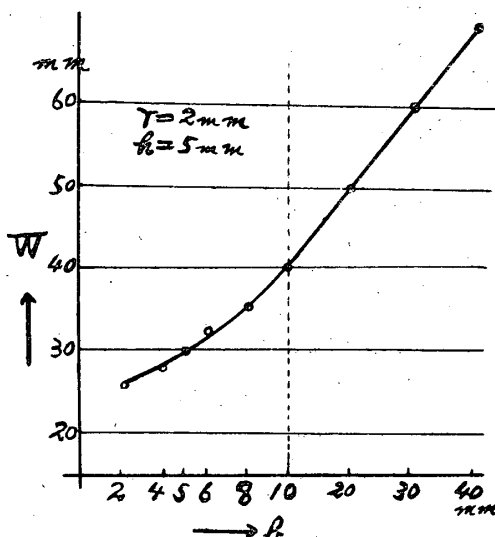
1. b の変化による W の変化

$$h = 5 \text{ mm}, r = 2 \text{ mm}$$

b mm	2	4	5	6	8	10	20	30	40
W mm	25	28	30	33	35	40	50	60	70

之をグラフに示すと第7図となる。

2. h の変化による W の変化



第7図

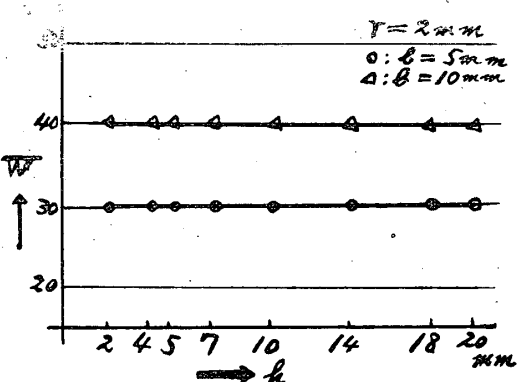
$$b = 5 \text{ mm}, r = 2 \text{ mm}$$

h mm	2	4	5	7	10	14	18	20
W mm	30	30	30	30	30	30	31	30

$$b = 10 \text{ mm}, r = 2 \text{ mm}$$

h mm	2	4	5	7	10	14	18	20
W mm	40	40	40	40	40	40	40	40

之をグラフに示すと第8図である。この場合前



第8図

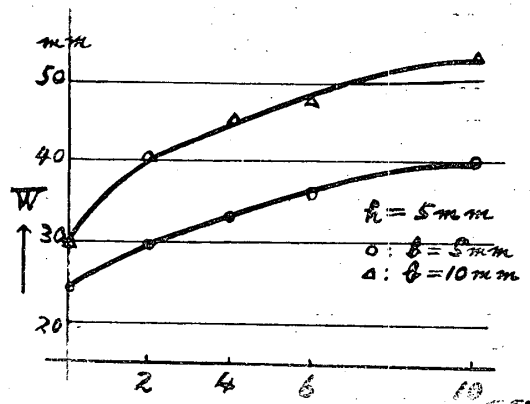
と全く同様に h は影響しないということになる。

3. r の変化による W の変化

$$b = 5 \text{ mm}, h = 5 \text{ mm} \quad b = 10 \text{ mm}, h = 5 \text{ mm}$$

r mm	0	2	4	6	10	0	2	4	6	10
W mm	25	30	33	36	40	30	40	45	47	53

之をグラフに示すと第9図となる。



第9図

V 結 論

以上の実験事実から凸張りをもつ平板試験片の凸張りの要素 b , h , r の伸率に対する影響は巾 b が一番にそして丸味 r がその次に影響し、高さ h は伸率に殆ど影響しないことがわかつた。⁽⁴⁾ このことは矩形の凸張りをもつ二次元面の理論は解けていてもその数値計算が極めて難しい現在、この実験結果より推して知る以外方法がない。尚從来 sharp corner に於ては無限大の応力が集中してここで切断すると考えられていたが僅か二種類ではあつたが $r=0$ 即ち sharp corner では切れなかつた。即ち丸味をつけて応力集中を避けた訳であるが sharp corner の場合はこの部に速かに応力が集中して塑性域に入る。而して材料が降伏してから破断に到る間は石橋博士その他の研究によると、その部より少し離れ

た点の応力と、その物体の形状に大いに影響されると云われている。従つて sharp corner には応力が集中して速かに降伏するがそれ以後は凸張りのため sharp corner 以外の点の応力の値は小さく、且又この凸張りの形状のため辺りの流れが妨げられて、この凸張りのある以外の辺りの流れの大きい所で破断するに到ると考えられる。しかし之はあく迄現象理論的に実験事実からとつた結論であつて、之を裏付する厳密な理論なくして決定づけることは早計である。がいづれにしても今迄考えらいれたてよう sharp corner で必ずしも切断することは云えないと思う。

參 考 文 獻

※昭和27年3月29日日本機械学会関西支部総会講演会で発表

註：—

- (1) 石橋正：沢山あるが例えは“切欠と強さ”機械の研究第5巻第4号その他九大工学部紀要機械学会論文集etc.
- (2) 島田平八：“矩形切欠付丸棒の引張り強度の研究”東北大学工学部 内力及び弾性学研究室報告第二卷第三号
- (3) sharp corner で切れる事になつてゐるが順序として行つてみた。
- (4) 註1参照
- (5) 太田友彌、半田孝男 “Contribution to the Problem of the Stresses at a Discontinuity existing at the End of a Bridge.” 造船協会 No.83 P.53
- (6) 註(1)参照

一方向連續板の振動について

— 擬角法による解法 —

米 沢 博

び桁の曲げモーメント、剪断力に応用して従来の設計法に比して合理的な結果を得た。⁽²⁾ 他方板の振動の理論は一個の板に関するものは枚挙にいとまないほどあるが、連續板に関するものは著者寡聞にして一二の例を知るのみである。ここに一方向連續板の自由振動に擬角法を適用して、従来の方法では非常に複雑になるか殆んど不可能な場合でもこれによると比較的簡単に解

1. まえがき

橋梁等の床版は殆んどが弾性支承上の連續板であるにかかわらず、曲げモーメントや振動数等の解析には beam の理論もしくは一個の板としての理論を用いているようである。

さきに京大成岡博士がラーメン解析における擬角法を連續板に適用することを提唱され、さらに同氏、著者等は之の理論を鋼道路橋床版およ